

## مطالعه عددی تأثیر پاشش متقاطع جت هوا قبل از جت سوخت در جریان هوای عبوری مافوق صوت

مصطفی زاهدزاده<sup>۱</sup>، فتح الله امی<sup>۲</sup>

۱ دانشجوی دکتری، دانشکده مهندسی مکانیک، گروه هوافضا، دانشگاه تربیت مدرس، mostafa.zahedzadeh@modares.ac.ir

۲ استاد، دانشکده مهندسی مکانیک، گروه هوافضا، دانشگاه تربیت مدرس

تاریخ دریافت: ۹۷/۱۱/۰۱

تاریخ پذیرش: ۹۹/۰۲/۱۹

### چکیده

یکی از روش‌های رایج جهت اختلاط سوخت و هوا در محفظه‌های احتراق اسکرمجت، پاشش متقاطع سوخت در جریان هوای مافوق صوت ورودی به محفظه احتراق می‌باشد. در این میان پاشش جت هوا قبل از جت سوخت، می‌تواند موجب افزایش ارتفاع عمق نفوذ سوخت به درون محفوظه احتراق شود. البته این پاشش جت هوا موجب افزایش تلفات فشار سکون نیز می‌شود. در این مقاله سعی شده است که با تغییر مکان موقعیت پاشش جت هوا، شرایطی را که در آنجا بیشترین عمق نفوذ سوخت و کمترین تلفات فشار سکون ایجاد می‌شود یافته شود. جهت انجام شبیه‌سازی‌های عددی، معادلات دو-بعدی ناویر-استوکس به همراه مدل آشفتگی دو-معادله‌ای  $k-w$  و معادله حالت گاز کامل حل شده‌اند و نتایج حاصل از شبیه‌سازی عددی با نتایج تحریق مقایسه و صحّه‌گذاری شده‌اند. در آزمایش تجربی از گاز هلیوم برای پاشش در جریان مافوق صوت استفاده شده است. به همین خاطر در ابتداء برای صحّه‌گذاری، شبیه‌سازی عددی با پاشش گاز هلیوم صورت گرفته است. سپس با توجه به اینکه سوخت متداول مورد استفاده در موتورهای اسکرمجت، هیدروژن می‌باشد از پاشش سوخت هیدروژن برای مطالعه پارامتری استفاده شده است. در نهایت از نتایج حل عددی مشخص شد که در صورتی که پاشش جت هوا به فاصله بسیار کوچکی از جت سوخت صورت پذیرد می‌تواند بیشترین عمق نفوذ سوخت را با کمترین تلفات فشار سکون ایجاد نماید.

### واژگان کلیدی

پاشش متقاطع، جریان هوای عبوری مافوق صوت، دیسک ماخ، تلفات فشار سکون.

### ۱. مقدمه

دارد که برای مثال می‌توان به پاشش جت‌های سوخت در محفظه‌های احتراق توربوجت‌ها، رمجت‌ها و اسکرمجت‌ها، تزریق

یکی از مسائل مورد توجه در مکانیک سیالات پاشش متقاطع جت به درون جریان هوای عبوری است که کاربردهای عملی بسیاری

موتور اسکرمجت از بسیاری لحاظ از جمله وزن پایین و سادگی آن، بهتر از سایر موتورها است. این نوع موتور نیازی به حمل اکسیدکننده نداشته و اکسیژن مورد نیاز خود را از هوای اطراف می‌گیرد و همچنین هیچگونه اجزای دوار و متحرکی ندارد که ساخت آن را آسانتر از ساخت موتورهای توربوجت می‌نماید. همچنین ضربه ویژه این موتور بیشتر از ضربه ویژه راکتها است که می‌تواند ضربه ویژه راکتها حداقل در حدود ۱۰۰۰ تا ۴۰۰۰ ثانیه تولید نماید در حالیکه ضربه ویژه راکتها حداقل در حدود ۴۵۰ ثانیه و یا کمتر است. علاوه بر این، موتور اسکرمجت می‌تواند گزینه‌ای برای دستیابی ارزانتر به فضا در آینده باشد. ولی از مشکلات موجود بر سر راه توسعه این موتور می‌توان به آزمایشات سخت و پیچیده و گرانقیمت آن، و ملزمات پیشرانش اولیه آن اشاره نمود.

[۸]



شکل ۱. تصویری از پرنده ایکس-۴۳ ناسا [۶]



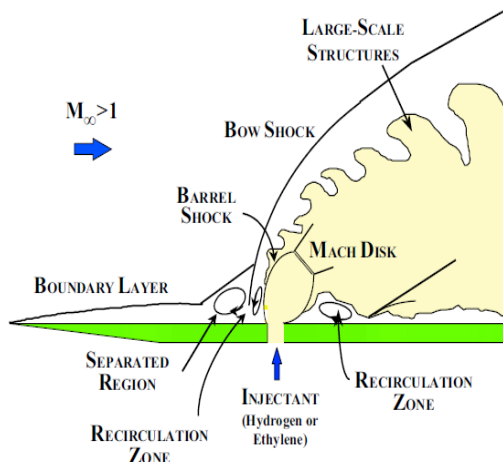
شکل ۲. پرنده ایکس-۵۱ با موتور اسکرمجت [۷]

از میان مسائل مختلف برای بهبود اسکرمجت‌ها، اختلاط خوب سوخت و هوا یکی از مسائل مهم در ارتقای این موتورها است. از آنجاییکه فرآیند احتراق در این موتورها خیلی سریع اتفاق می‌افتد، پاشش مناسب سوخت برای اختلاط بهتر بسیار مهم است. بهبود اختلاط سوخت و هوا منجر به کاهش مصرف سوخت و کاهش حجم مخازن سوخت می‌شود. زمان اقامت جریان هوا درون محفظه احتراق یک اسکرمجت بسیار کوتاه و تقریباً در حدود یک یا چند میلی ثانیه است. در این مدت زمان بسیار کوتاه

جهت جهت خنک کاری محلی محفظه‌های احتراق توربوجت‌ها و موشک‌ها و یا خنک کاری اجزای خارجی وسایل هواشناسی، سیستم‌های کنترل بردار تراست، و هواپیماهای عمود پرواز، اشاره نمود [۱].

موتور اسکرمجت یکی از سیستم‌های پیشرانشی کارآمد برای وسایل پرنده با سرعت‌های پروازی مأموری صوتی است. توسعه وسایل پروازی مافوق صوت و مأموری صوتی که قادر به پرواز در اتمسفر باشند یکی از موضوعات مورد توجه در دهه‌های گذشته بوده است. پیشرانش هوا-تنفسی برای پروازهای مأموری صوتی پتانسیل لازم برای فراهم نمودن وسایل حمل و نقل اقتصادی و با قابلیت اطمینان بالا جهت دستیابی به فضا را دارا می‌باشد. از نقطه نظر سیستم پیشرانشی برای سرعت‌های پروازی بیش از عدد ماخ ۶ استفاده از موتورهای اسکرمجت پیشنهاد می‌شود. موتور اسکرمجت یک تکنولوژی نوین‌بخش است که نیازی به حمل اکسیدکننده نداشته و اکسیژن مورد نیاز خود را از هوای اتمسفر تأمین می‌نماید و درنتیجه عملکرد آن از این لحاظ بهتر از موتورهای راکتی است. در سالیان گذشته آزمایشات پروازی مختلفی صورت پذیرفته است که از جمله می‌توان به های شات-۲-۱ در سال ۲۰۰۲ [۳و۲]، پرنده ایکس-۴۳ ناسا<sup>۳</sup> در سال ۲۰۰۴ و پرنده ایکس-۵۱-۱ اشاره نمود. در شکل ۱ تصویری از پرنده ایکس-۴۳ ناسا مشاهده می‌شود که توانست با استفاده از موتور اسکرمجت در حدود ۱۱ ثانیه در عدد ماخ تقریباً ۹/۶ در ارتفاع ۱۱۰۰۰ پایی پرواز نماید [۶-۴]. در شکل ۲ نیز تصویری از پرنده ایکس-۵۱ مشاهده می‌شود که موفق شد با استفاده از موتور اسکرمجت به مدت ۲۱۰ ثانیه در عدد ماخ ۵ و در ارتفاع ۷۰۰۰۰ پایی پرواز نماید. پرنده ایکس-۵۱ یک وسیله با موتور اسکرمجت و به طور یکپارچه با پیشران راکتی است. سوخت این موتور اسکرمجت، سوخت هیدروکربنی جی پی-۷ بود. در سال ۲۰۱۰ پرنده ایکس-۵۱ اولین پرواز موفقیت‌آمیزش را انجام داد. این پرنده تحقیقاتی از روی یک هواپیمای بی-۵۲ پرتاب شد. پرنده ایکس-۵۱ پس از پرتاب از روی هواپیما، ابتدا توسط یک بوستر سوخت جامد امگی‌ام-۱۴۰ تا حدود عدد ماخ ۴/۵ می‌رسد و سپس بوستر سوخت جامد از آن جدا شده و موتور اسکرمجت شروع به کار می‌نماید. پرنده ایکس-۵۱ رکورد بیشترین مدت زمان پروازی با موتور اسکرمجت را شکست و توانست به مدت ۲۱۰ ثانیه با موتور اسکرمجت پرواز نماید [۷].

ضربهای کمانی قوی در اطراف موج ضربهای بشکه‌ای تشکیل می‌شود. قسمت عمودی موج ضربهای کمانی یک افزایش فشاری را ایجاد می‌نماید که از طریق ناحیه مادون صوت لایه مرزی به سمت بالادست منتشر می‌شود. این گرادیان فشار معکوس منجر به جدا شدن جریان می‌شود، و یک سیستم ساختارهای گردابه‌ای تولید می‌شود که در اطراف موج ضربهای بشکه‌ای خم می‌شوند و به سمت پایین دست حرکت می‌نمایند. برای نسبت فشار تقریبی حدود ۵۰۰ ناحیه جدا شده دو گردابه ناهمسانگرد ایجاد می‌نماید، که یکی از آنها یک گردابه نعل اسی است که اطراف جت خم شده است. برای نسبت فشار ۱۲۰۰۰ گردابه‌های مختلفی در ناحیه جدا شده ظاهر می‌شوند. در ضمن جریان جدا شده یک موج ضربهای ناشی از جدایش ایجاد می‌نماید که با موج ضربهای کمانی برخورد می‌نماید [۱۴ و ۱۵].



شکل ۳. حوزه پاشش جت متقاطع در جریان عبوری مافوق صوت [۱۷]

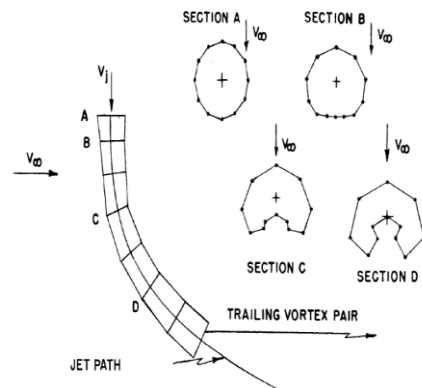
هنگامی‌که سیال جت، نازل را ترک می‌نماید به دلیل حضور جریان هوای عبوری، نیروی برشی به آن وارد می‌شود؛ سطح مشترک سیال جت تغییر شکل داده و به شکل یک لوپیای قلوهای مانند تبدیل می‌شود و به سمت پایین دست خم می‌شود. این نیروی برشی صفحه پایین دست را به دور خودش می‌چرخاند و یک جفت گردابه تشکیل می‌دهد. شماتیکی از خم شدن و برش جت در شکل ۴ نشان داده است. همچنین در ناحیه ویک<sup>۸</sup> جت یک ناحیه بازچرخشی و یک موج بازترکمی حضور دارد که جریان را به جهت مماس بر دیواره جامد می‌چرخاند. ناحیه بعد از جت شامل یک ناحیه فشار پایین است که تأثیر معکوس بر نیروی تراست تولید شده توسط جت داشته و یک ممان رو به پایین بر

و فاصله کوتاه موجود، باید اختلاط مناسب و مؤثری از سوخت و هوا بدست آید. بنابراین به یک روش اختلاط سریع و کارآمد نیاز می‌باشد، تا احتراق مناسبی شکل گرفته و تلفات فشار سکون و بارهای حرارتی بر روی دیواره محفظه احتراق کمترین مقدار را داشته باشد. یک روش مرسوم و قابل اطمینان پاشش سوخت برای یک موتور اسکرمجت، پاشش متقاطع به درون جریان هوای مافوق صوت عبوری است. پاشش متقاطع معمولاً اختلاط سوخت و هوای سریع و با عمق نفوذ جت بالای را فراهم می‌نماید ولی در این نوع پاشش تلفات فشار سکون نیز بالا است [۹].

هم سوخت هیدروژن و هم سوخت‌های هیدروکربنی در کاربردهای احتراق مافوق صوت استفاده می‌شوند که البته استفاده از سوخت هیدروژن رایج‌تر است. از نقطه نظر احتراقی، سوخت هیدروکربنی ویژگی‌های بهتری نسبت به سایر سوخت‌های هیدروکربنی دارد که از جمله آنها اشتعال پذیری سریع، تأخیر در اشتعال پایین، و پایداری شعله بالا می‌باشد. همچنین مکانیسم واکنش سوخت هیدروژن در حدود ۱۰ برابر سریع‌تر از سوخت‌های هیدروکربنی دیگر است و ضربه ویژه بالاتری نیز فراهم می‌نماید. مزایای ذاتی هیدروژن آن را مناسب‌ترین انتخاب برای استفاده در موتورهای اسکرمجت نموده است [۱۰-۱۲]. تاکنون روش‌های متعدد زیادی جهت پاشش سوخت در محفظه احتراقی اسکرمجت‌ها پیشنهاد شده است که در این میان پاشش متقاطع سوخت هیدروژن به درون جریان هوای عبوری مافوق صوت یک نمونه از طرح‌های پاشش مورد استفاده است. روش‌های تجربی مورد استفاده شامل نمونه برداری جرمی<sup>۳</sup>، روش تصویربرداری شلیری<sup>۴</sup>، و سایر روش‌های تصویربرداری و همچنین روش‌های جدید تصویربرداری با استفاده از لیزر از قبیل روش پراکندگی رایلی/اما<sup>۵</sup> و روش لیزر القاء شده ید دار فلوئورسانسی<sup>۶</sup> و روش لیزر القاء شده ید دار کردن فلوئورسانسی صفحه‌ای<sup>۷</sup> می‌باشند. همچنین از روش‌های تحلیلی و عددی زیادی توسط محققین مختلف برای شناخت و مدل‌سازی مسئله پاشش جت متقاطع به درون جریان هوای عبوری مافوق صوت استفاده شده است [۱۳].

وضعیت یک جت برخورده با جریان هوای عبوری مافوق صوت را می‌توان در شکل ۳ مشاهده نمود. در ناحیه پاشش سوخت، یک موج ضربه‌ای بشکه‌ای تشکیل شده و در جهت جریان هوای عبوری می‌چرخد. موج ضربه‌ای بشکه‌ای به صورت مانعی در مسیر هوای عبوری عمل می‌نماید و در نتیجه یک موج

روی وسیله پرنده ایجاد می‌نماید. یک ناحیه فشار پایین در قسمت بعد از بادپناه<sup>۹</sup> (بعد از جت) موج بشکه‌ای ایجاد می‌شود [۱۶].



شکل ۴. خم شدن مسیر یک جت با سطح مقطع دایروی و تغییر سطح مقطع آن در اثر برخورد با جریان هوای عبوری [۱۸]

## ۲. مروری بر تاریخچه تحقیق

پدیده پاشش جت سیال متقاطع به داخل جریان هوای عبوری مافوق صوت دارای فیزیک پیچیده‌ای است و تاکنون مطالعات تجربی، عددی و تحلیلی زیادی در این حوزه صورت پذیرفته است که در اینجا به برخی از مطالعات صورت گرفته در این حوزه اشاره مختصری می‌شود. هرش و همکاران عمق نفوذ جت هلیوم به درون جریان آزاد با ماخ ۲ را بر یک صفحه تخت با استفاده از تصاویر شیلین اندازه‌گیری نموده‌اند [۱۹]. آبیت و همکاران، به مطالعه اختلاط مافوق صوت در محفظه احتراق پرداخته‌اند و اندازه-گیری کسر مولی را در شرایط تجربی انجام داده‌اند [۲۰]. آسو و همکاران، پاشش متقاطع از طریق یک شکاف به درون جریان هوای مافوق صوت را به صورت تجربی برای نسبت فشارهای مختلف تزریق آزمایش نموده‌اند [۲۱]. سان و همکاران تشکیل جفت گردابه‌های ناهمسانگرد پایین دست یک جت صوتی در جریان عرضی مافوق صوت را با استفاده از شبیه‌سازی عددی مستقیم بررسی نموده‌اند [۲۲ و ۲۳]. ولکوف و همکاران، پاشش متقاطع درون جریان مافوق صوت روی یک صفحه تخت را به صورت عددی با حل معادلات ناویر-استوکس دو-بعدی به همراه مدل آشفتگی  $k-\omega$  شبیه‌سازی کرده‌اند [۲۴]. هانگ و همکاران تأثیر مدل‌های آشفتگی و عرض شکاف را بر حوزه جریان پاشش متقاطع در جریان‌های مافوق صوت بررسی نموده [۲۵]. سریرام و چاکروبرتی پاشش عمودی درون جریان مافوق

صوت بعد از یک پله را به صورت عددی بررسی نموده‌اند [۲۶]. سانکاران و همکاران، به تحقیق بر روی شبیه‌سازی عددی در محفظه احتراق مافوق صوت با تزریق متقاطع دو-مرحله‌ای بعد از یک پله با گودال پرداخته‌اند [۲۷]. مرادی و همکاران، تأثیر شکل گودال شعله نگهدار را بر ناحیه اختلاط جت هیدروژن در جریان مافوق صوت بررسی نموده‌اند [۲۸]. لیو و همکاران به بررسی تجربی پاشش جت تکی و پاشش جت دوتایی در یک محفظه احتراق مافوق صوت پرداخته‌اند و مشاهده نمودند که پاشش جت دوتایی عمق نفوذ سوت بیشتری ایجاد می‌نماید و فاصله بهینه-ای برای مکان جتها وجود دارد که در آن فاصله عمق نفوذ جت سوت بیشینه است [۲۹]. کومار و همکاران، مدل‌سازی ریاضی و سوت بیشینه است [۳۰]. هاگینز و همکاران، یک مدل مهندسی کم-هزینه از لحظ محاسباتی را برای تشریح حوزه جریان ناشی شده از پاشش یک جت گازی صوتی یا مافوق صوت فرو-منبسط شده به درون یک جریان آزاد مافوق صوت توسعه داده‌اند. این مدل قادر به تخمین مسیر جت، مختصات دیسک ماخ، اختلاط و نفوذ سوت، تلفات فشار و تعیین یک سطح استوکیومتریک است [۳۱].

تزریق سوت به درون یک محفظه احتراق مافوق صوت با یک حفره یکی از روش‌های مؤثر جهت پایدارسازی و نگهداری شعله در بازه وسیعی از شرایط عملکردی است. میشرا و اسریدهار، یک محفظه احتراق مافوق صوت دو-بعدی با تزریق سوت مستقیم از کف یک حفره با زوایای تزریق مختلف سوت برای دو حالت در شرایط واکنش پذیر و غیر واکنشی را با استفاده از نرم‌افزار فلوئنت بررسی نموده‌اند [۳۲]. اوماجی و ساداندان، تأثیر موقعیت-های پاشش سوت درون یک گودال بعد از پالیون را به صورت عددی بررسی نموده‌اند. در این مطالعه هفت موقعیت مختلف برای پاشش جت سوت هیدروژن بررسی شده‌اند. شبیه‌سازی‌های آن‌ها نشان می‌دهند که جفت گردابه ناهمسانگرد درون گودال نقش مهمی را در قابلیت پراکندگی سوت و عمق نفوذ جت سوت ایفاء می‌نماید [۳۳]. چن و همکاران، جریان‌های تزریق شده از انژکتور ایرورمپ<sup>۱۰</sup> را به صورت عددی شبیه‌سازی نموده‌اند. شبیه‌سازی‌های آنها برای تزریق سوت اتیلن از انژکتور ایرورمپ در شرایط جریان غیر واکنشی و جریان واکنش پذیر صورت پذیرفته است [۳۴].

سوخت صورت گرفته است که هدف کار حاضر بررسی تأثیر فاصله بین جت سوخت و هوا است. پاشش جت هوا به علت انسدادی که در مسیر عبور جریان ایجاد می‌نماید می‌تواند موجب افزایش عمق نفوذ سوخت شود. یافتن فاصله مناسب بین پاشش جت هوا و جت سوخت می‌تواند یک مسئله مهم برای بررسی باشد که در ادامه فاصله بین جت سوخت و جت هوا تغییر داده شده است و تأثیر آن بر روی ارتفاع دیسک ماخ، عمق نفوذ سوخت و تلفات فشار سکون برای حالت‌های مختلف بدست آمده و با یکدیگر مقایسه شده‌اند.

### ۳. روش حل عددی

در این تحقیق، معادلات دو-بعدی ناویر-استوکس رینولدز متواتسط‌گیری شده بر پایه روش چگالی مبنا توسط نرم‌افزار فلوئنت حل شده‌اند. معادلات حاکم شامل معادله پیوستگی، معادله مومنتوم در جهت‌های  $x, y$ ، معادله انرژی، معادله حالت گاز کامل و معادله بقای گونه‌ها هستند و همچنین از مدل آشفتگی دو-معادله‌ای  $k-\omega$  SST جهت مدل‌سازی آشفتگی استفاده شده است. مدل آشفتگی  $k-\omega$  SST ترکیبی از مدل مدل آشفتگی دو-ویلکاکس در ناحیه نزدیک دیواره و مدل  $k-e$  استاندارد در نواحی دور از دیواره است. مدل آشفتگی  $k-\omega$  SST معمولاً تخمین خوبی از لایه‌های اختلاط و جریان‌های جت را فراهم می‌نماید و معمولاً غیرحسناً به مقادیر اولیه است. همچنین این مدل حساسیت کمتری به مشخصات سطح آشفتگی جریان آزاد در مقایسه با مدل استاندارد دارد [۴۱]. این مدل بین جهت انتخاب شده است که در مقایسه با سایر مدل‌های دو-معادله‌ای و مدل انتقال تنش رینولدز ویلکاکس، قابلیت خوبی در تخمین جدایش و مواجه با گردابیان‌های فشار معکوس و جریان‌های جدا شده دارد. در مقایسه با اکثر مدل‌های لزجت گردابه، حداقل برای مورد پاشش جت در جریان عرضی تراکم‌پذیر، مدل ویلکاکس توانایی‌های تخمین بهتری از حوزه حل را دارا می‌باشد [۴۲ و ۴۳]. همانطور که گفته شد مدل دو-معادله‌ای  $k-\omega$  SST فرمول‌بندی دقیق مدل  $k-\omega$  در ناحیه نزدیک دیواره را با مدل  $k-e$  در ناحیه دور دست ترکیب نموده است. برای دستیابی به این منظور مدل  $k-e$  به فرمول‌بندی مدل  $k-\omega$  تبدیل می‌شود. مدل دو-معادله‌ای  $k-\omega$  استاندارد و مدل  $k-\omega$  تبدیل شده هر دو در یکتابع ترکیبی ضرب می‌شوند و هر دو مدل با یکدیگر جمع شده‌اند. این تابع ترکیبی به طوری طراحی

گرددوباری و همکاران، عملکرد اختلاط را برای پاشش چند جت هوا و چند جت سوخت با شبیه‌سازی عددی سه-بعدی بررسی نموده‌اند. در این کار پاشش یک، چهار، هشت و شانزده جت سوخت و هوا به صورت پشت‌سر هم بررسی شده است که هر جت هوا بعد از یک جت سوخت پاشش شده است. از نتایج آنها مشاهده شد که بیشترین افزایش نرخ اختلاط سوخت و هوا مربوط به پاشش تکی سوخت و هوا است که بیشترین ارتفاع عمق نفوذ سوخت بدست آمده است [۳۵]. لی و همکاران، یک نوع روش پاشش سوخت بعد از یک میکرو-رمپ و به همراه یک پاشش مجرای هوا را به صورت عددی بررسی نموده‌اند. نتایج آنها نشان می‌دهد که میکرو-رمپ به دلیل ایجاد گردابه‌های مقیاس بزرگ موجب بهبود فرآیند اختلاط می‌شود و پاشش هوا نیز به دلیل تزریق هوا به درون لایه مرزی سوخت موجب بهبود فرآیند اختلاط می‌شود [۳۶]. تحقیقات اندکی نیز در زمینه تزریق جت مایع به درون جریان هوای عرضی ماقوّصوت صورت پذیرفته است. تحقیقات در زمینه تزریق سوخت مایع در محفظه‌های احتراق ماقوّصوت با چالش‌های فنی روبرو است. احتراق مؤثر نیازمند عمق نفوذ کافی، و خواص اختلاط و اتمیزه شدن مناسب مایع می‌باشد [۳۷]. به عنوان مثال، گریک و همکاران یک طرح عددی جهت مدل‌سازی اتمیزه شده در جریان‌های تراکم‌پذیر ماقوّصوت ارائه نموده‌اند [۳۸]. سیاوش و همکاران شبیه‌سازی شکست اویله جت مایع در جریان هوای عرضی ماقوّصوت را بررسی نموده‌اند [۳۹]، و لیو و همکاران، نیز شبیه‌سازی‌های عددی تزریق جت مایع به درون جریان‌های عرضی ماقوّصوت را با استفاده از مدل دو-سیال خالص انجام داده‌اند [۴۰].

در کار حاضر ابتدا شبیه‌سازی عددی پاشش جت گازی هلیوم درون جریان هوای عبوری ماقوّصوت انجام شده و نتایج حل عددی با داده‌های تجربی مقایسه و صحنه‌گذاری شده‌اند. یکی از روش‌های جدید جهت بهبود ویژگی‌های اختلاط سوخت و هوا در محفظه احتراق موتور اسکرمجت، پاشش جت هوا قبل از جت سوخت است و همچنین از آنجایی که سوخت متداول مورد استفاده نیز سوخت هیدروژن است لذا شبیه‌سازی‌های عددی برای پاشش جت هیدروژن گازی به گونه‌ای صورت پذیرفته است که یک جت هوای متقاطع با سرعت صوت قبل از نقطه پاشش هیدروژن به درون جریان هوای ماقوّصوت تزریق شده است. تاکنون تحقیقات اندکی روی موضوع پاشش جت هوا قبل از جت

$$\frac{\partial}{\partial t} (\rho Y_i) + \nabla \cdot (\rho \vec{v} Y_i) = -\nabla \cdot \vec{J}_i + R_i + S_i \quad (8)$$

که  $Y_i$  کسر جرمی محلی هر گونه‌های است، که از طریق حل معادله انتقال-پخش برای گونه‌های نام تخمین زده می‌شود.  $R_i$  نرخ خالص تولید گونه‌های نام و  $S_i$  نرخ تولید توسط چشممه‌های تعريف شده است. این معادله برای  $N-1$  گونه حل می‌شود و  $N$  تعداد کل گونه‌های حاضر در سیستم است. از آنجاییکه مجموع کسر جرمی تمام گونه‌ها برابر ۱ می‌باشد، بدین طریق کسر جرمی آخرین گونه نیز محاسبه می‌شود. بهتر است که  $N$  این گونه، گونه‌ای با بیشترین کسر جرمی انتخاب شود تا خطای عددی کاهش یابد.  $\vec{J}_i$  نیز شار پخش گونه‌های  $i$  می‌باشد و برای شار پخشی در جریان آشفته می‌توانیم بنویسیم:

$$\vec{J}_i = - \left( \rho D_{i,m} + \frac{\mu_t}{S_{C_t}} \right) \nabla Y_i - D_{T,i} \frac{\nabla T}{T} \quad (9)$$

که  $D_{i,m}$  ضریب پخش جرم برای گونه نام در مخلوط است و  $D_{T,i}$  ضریب پخش گرمایی است و  $S_{C_t}$  عدد اشمتی آشفته است که عدد اشمتی آشفته به صورت پیش‌فرض برابر  $7/45$  می‌باشد [۴۵]. در کار حاضر مرز بالا و مرز پایین به صورت دیواره ثابت بدون لغزش و بدون انتقال حرارت در نظر گرفته شده است. مرز سمت چپ (ورودی هوا) به صورت ورودی مافق صوت و مجرای پاشش جت سوخت و جت هوا نیز به صورت ورودی جریان با سرعت صوت در نظر گرفته شده است. مرز سمت راست (مرز خروجی) نیز به صورت فشار خروجی در نظر گرفته شده است.

#### ۴. مدل فیزیکی آزمایشگاهی

در این کار از مدل تجربی بررسی شده توسط ویدنر و همکاران [۴۶] جهت صحنه‌گذاری نتایج حل عددی استفاده شده است. در آزمایش تجربی انجام شده، گاز هلیوم از طریق یک شکاف به ارتفاع  $0/0559$  سانتیمتری به درون یک کانال مستطیلی شکل به ارتفاع  $7/62$  سانتیمتر و طول  $25/4$  سانتیمتر پاشش شده است. شکاف پاشش در فاصله  $17/8$  سانتیمتری از ورودی کانال قرار گرفته است. شرایط پاشش هلیوم در خروجی شکاف به این صورت است که فشار استاتیک برابر  $1/24$  مگاپاسکال، دمای استاتیک برابر  $217$  کلوین و عدد ماخ برابر  $1$  می‌باشد. شرایط در ورودی کانال برای هوای ورودی نیز به این صورت است که فشار استاتیک جریان هوای ورودی برابر  $64300$  پاسکال، دمای استاتیک برابر  $108$  کلوین و عدد ماخ ورودی برابر  $2/9$  می‌باشد.

شده است که در نزدیکی دیواره برابر با یک است که مدل  $k-\omega$  استاندارد را فعال می‌نماید، و در ناحیه دور از سطح برابر صفر است که مدل  $k-\epsilon$  تبدیل شده را فعال می‌نماید. معادلات حاکم به شکل انتگرالی برای یک حجم کنترل  $V$  به صورت زیر است:

$$\frac{\partial}{\partial t} \int_V W dV + \int [F - G] = \int_V H dV \quad (1)$$

که بردارهای  $W$ ,  $F$ ,  $G$  و  $H$  به صورت زیر تعريف می‌شوند:

$$W = \begin{Bmatrix} \rho \\ \rho u \\ \rho v \\ \rho E \end{Bmatrix}, F = \begin{Bmatrix} \rho v \\ \rho vu + p\hat{i} \\ \rho v \cdot v + p\hat{j} \\ \rho vE + pv \end{Bmatrix} \quad (2)$$

$$G = \begin{Bmatrix} 0 \\ \tau_{xi} \\ \tau_{yi} \\ \tau_{ij} v_j + q \end{Bmatrix}$$

و بردار  $H$  شامل جملات چشممه از قبیل نیروهای حجمی و چشممه‌های انرژی است.  $\rho$ ، چگالی،  $v$  سرعت،  $E$  انرژی کل در واحد جرم و  $P$  فشار است.  $\tau$  تانسور تنفس لزج و  $q$  شار حرارتی است. انرژی کل از طریق رابطه زیر با انتالپی کل مرتبط است:

$$E = H - p/\rho \quad (3)$$

$$H = h + |v|^2/2 \quad (4)$$

معادله حالت گاز کامل نیز به صورت زیر است:

$$p = \rho R T \quad (5)$$

معادلات آشفتگی نیز به صورت زیر هستند:

$$\frac{\partial}{\partial t} (\rho k) + \frac{\partial}{\partial x_i} (\rho k u_i) = \frac{\partial}{\partial x_j} \left( \Gamma_k \frac{\partial k}{\partial x_j} \right) + \widetilde{G}_k - \quad (6)$$

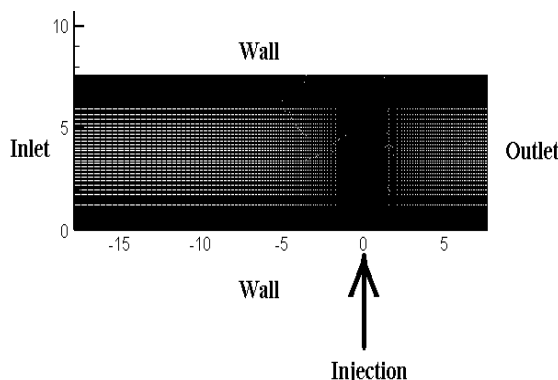
$$Y_k + S_k \quad \frac{\partial}{\partial t} (\rho \omega) + \frac{\partial}{\partial x_i} (\rho \omega u_i) = \frac{\partial}{\partial x_j} \left( \Gamma_\omega \frac{\partial \omega}{\partial x_j} \right) + \widetilde{G}_\omega - \quad (7)$$

$$Y_\omega + D_\omega + S_\omega$$

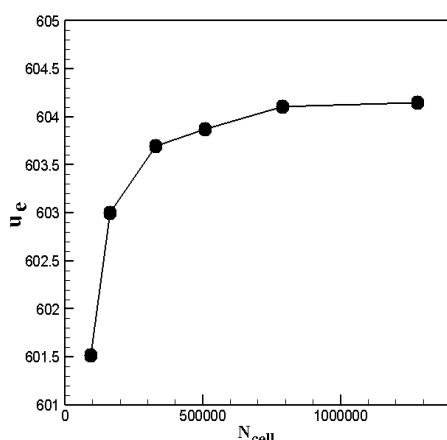
که در این معادلات  $\widetilde{G}_k$  بیانگر تولید انرژی آشفتگی به دلیل گرادیان‌های سرعت متوسط است.  $G_\omega$  نیز بیانگر تولید  $\omega$  است.  $\Gamma_k$  و  $\Gamma_\omega$  به ترتیب بیانگر پخش‌شوندگی مؤثر (اصمحلال شوندگی مؤثر)  $k$  و  $\omega$  هستند.  $Y_k$  و  $Y_\omega$  نیز به ترتیب بیانگر پخش (اصمحلال)  $k$  و  $\omega$  به دلیل آشفتگی هستند.  $D_\omega$  جمله پخش (اصمحلال) ترکیبی است.  $S_k$  و  $S_\omega$  نیز جملات چشممه تعريف شده توسط کاربر هستند. از موارد کاربرد این مدل می‌توان به شبیه‌سازی جریان‌های دارای گرادیان فشار معکوس، جریان‌های حول ایروفیل‌ها، جریان‌های داخل کانال، جریان‌های برشی و جریان‌های دارای امواج ضربه‌ای اشاره نمود [۴۴].

معادله بقای گونه‌ها نیز به صورت زیر است:

متغّریات صورت پذیرفته است. هندسه مسأله باید به نحوی شبکه بندی شود که تغییر شبکه با ازدیاد سلول‌ها و ناحیه‌های شبکه تأثیری بر روی نتایج شبیه‌سازی عددی نداشته باشد و یا خطای قابل چشم‌پوشی داشته باشد. در شکل ۶ نمودار استقلال از شبکه برای تغییرات میانگین سرعت محوری با افزایش تعداد سلول‌های حوزه حل مشاهده می‌شود که در این شکل  $u_e$  میانگین سرعت محوری در مرز خروجی و  $N_{cell}$  تعداد سلول‌های محاسباتی است.



شکل ۵. نمایی از شبکه تولید شده و حوزه حل



شکل ۶. بررسی استقلال از شبکه برای میانگین سرعت محوری در مرز خروجی

## ۶. نتایج و بحث

در ابتدا حوزه حل کار تجربی ارائه شده در مرجع [۴۶] به صورت عددی شبیه‌سازی و صحّه‌گذاری شده است. در شکل ۷ نتایج فشار استاتیک در راستای عمودی در موقعیت  $x=3/81$  سانتی‌متری با نتایج تجربی مقایسه شده است. در شکل ۸ نیز تغییرات فشار استاتیک بر روی دیواره پایینی مشاهده می‌شود که با داده‌های تجربی مقایسه شده است. در این شکل یک ناحیه افزایش فشار قبل از نقطه پاشش و یک ناحیه با کاهش فشار بعد از نقطه

## ۵. تولید و بررسی شبکه

شبکه‌بندی مناسب در شبیه‌سازی‌های عددی دارای اهمیت زیادی است. استقلال از شبکه و نحوه شبکه‌بندی در نزدیک دیواره از موارد مهمی هستند که در حل‌های عددی باید مورد بررسی قرار گیرند. در این کار از یک شبکه سازمان یافته با سلول‌های مستطیلی استفاده شده است و شبکه در اطراف انژکتور و نزدیک به دیواره‌ها ریز شده است. برای محاسبه فاصله اولین سلول از دیواره برای یک مقدار  $y^+$  ابتدا عدد رینولدز با استفاده از رابطه

۱۰ محاسبه می‌شود:

$$Re = \frac{\rho u_\infty L}{\mu} \quad (10)$$

سپس از یک رابطه تجربی برای تخمینتابع ضریب اصطکاکی استفاده می‌شود. در مراجع مختلف روابط تجربی زیادی برای تخمینتابع ضریب اصطکاکی پیشنهاد شده‌اند که به عنوان مثال می‌توان از رابطه ۱۱ که از قانون توان یک-هفتم پرانتل برای لایه مرزی آشفته بدست آمده و یا روابط ۱۲ و ۱۳ استفاده نمود [۴۷ و ۴۸].

$$C_f = \frac{0.027}{Re^{1/7}} \quad (11)$$

برای جریان خارجی روی صفحه تخت [۴۷]

$$C_f = 0.079 \times Re^{-0.25} \quad (12)$$

برای جریان داخلی [۴۸]

$$C_f = 0.058 \times Re^{-0.2} \quad (13)$$

برای جریان خارجی [۴۸]

سپس نرخ تنفس برشی بر روی دیواره با استفاده از رابطه ۱۴ تخمین زده می‌شود:

$$\tau_w = \frac{C_f \rho U_\infty^2}{2} \quad (14)$$

با داشتن نرخ تنفس برشی، امکان محاسبه سرعت اصطکاکی از رابطه ۱۵ فراهم می‌شود:

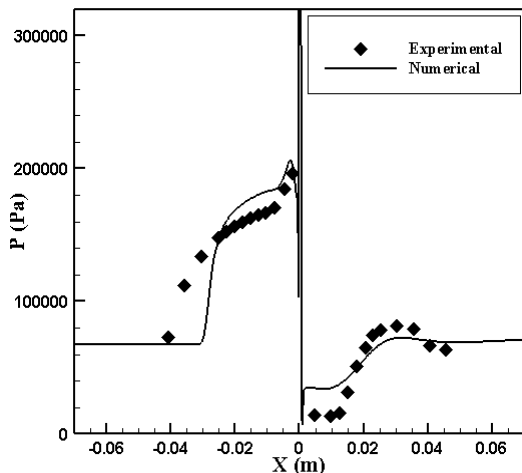
$$U_f = \sqrt{\frac{\tau_w}{\rho}} \quad (15)$$

درنهایت اندازه فاصله اولین سلول نزدیک به دیواره توسط رابطه ۱۶ تخمین زده می‌شود:

$$\Delta s = \frac{y^+ \mu}{U_f \rho} = \frac{y^+ \mu}{\rho U_\infty \sqrt{\frac{C_f}{2}}} \quad (16)$$

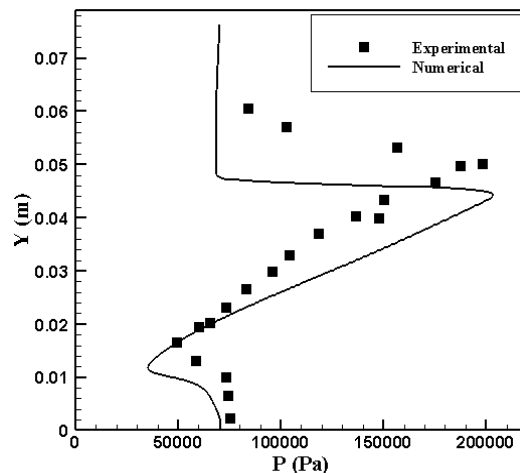
در کار حاضر در ناحیه دور از نقطه پاشش مقدار  $y^+$  کوچکتر از ۵۰ و در نواحی نزدیک به نقطه پاشش مقدار  $y^+$  کوچکتر از ۵ در نظر گرفته شده است. نمایی شماتیکی از شبکه تولید شده با بزرگنمایی در شکل ۵ مشاهده می‌شود. در ادامه پس از تولید شبکه، شبیه‌سازی‌ها برای شبکه‌های مختلف با تعداد سلول‌های

ضریب‌های کمانی و موج ضربه‌ای بشکه‌ای، و همچنین دو ناحیه مادون‌صوت قبل و بعد از جت پاشش قابل مشاهده می‌باشند. در شکل ۱۱ خطوط مسیر جریان در اطراف نقطه پاشش نشان داده شده است که در این شکل گردابه‌های ایجاد شده در نواحی بازچرخشی قبل و بعد از جت پاشش به خوبی مشاهده می‌شوند که این دو ناحیه بازچرخشی ایجاد شده نقش مهمی در بهبود اختلاط سوخت و هوا ایفاء می‌نمایند.

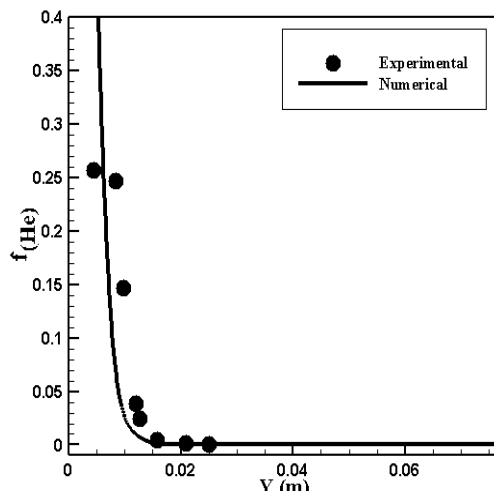


شکل ۸ تغییرات فشار استاتیک بر روی دیواره پایه

پاشش مشاهده می‌شود. در شکل ۹ مقایسه‌ای بین نتایج عددی و تجربی برای کسر جرمی هلیوم در راستای عمودی در موقعیت  $x=3/81$  سانتیمتری صورت پذیرفته است. درنهایت مقایسه نتایج حل عددی و تجربی نشان دهنده تطابق مناسب بین نتایج عددی و داده‌های تجربی می‌باشد و صحّت شبیه‌سازی حاضر را تأیید می‌نمایند. در شکل ۱۰ نیز کانتور تغییرات عدد ماخ مشاهده می‌شود که در این شکل موج ضربه‌ای ناشی از جدایش، موج



شکل ۷ تغییرات فشار استاتیک در راستای عمودی در موقعیت  $x=3.81$  cm

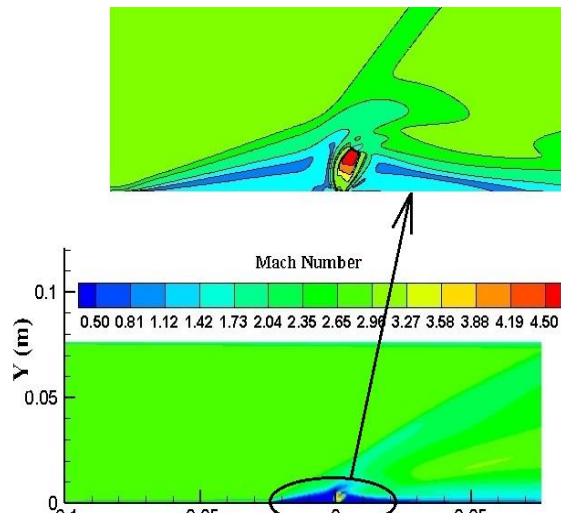


شکل ۹ تغییرات کسر حجمی هلیوم در راستای عمودی در موقعیت  $x=3.81$  cm

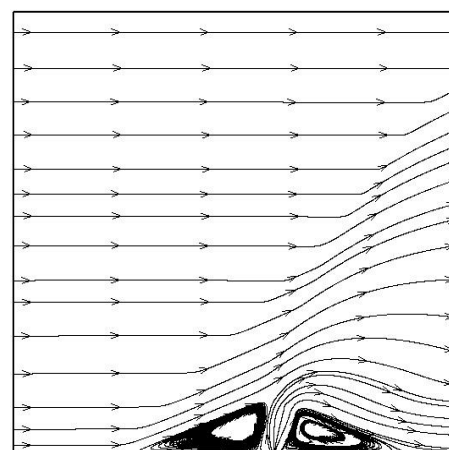
ماخ مشابه شرایط جت هلیوم در آزمایش تجربی مرجع [۴۶] در نظر گرفته شده است. در این کار فاصله جت هوا از جت سوخت از  $0/0.5$  تا  $6$  سانتیمتر تغییر داده شده است و شبیه‌سازی‌ها برای چند حالت مختلف صورت پذیرفته‌اند. نمایی از شکل مسأله حوزه حل پاشش جت هوا قبل از جت سوخت در شکل ۱۲ مشاهده می‌شود.

پس از اینکه صحّه‌گذاری نتایج حل عددی با داده‌های تجربی صورت پذیرفت، حال حوزه حل برای شرایط پاشش سوخت هیدروژن به شکلی بررسی می‌شود که یک پاشش جت هوا قبل از پاشش هیدروژن به شکلی بررسی می‌شود که یک پاشش جت هوا از نقطه پاشش هیدروژن بر حوزه پاشش بررسی می‌شود. شرایط پاشش جت هیدروژن و جت هوا از قبیل فشار، دما و عدد

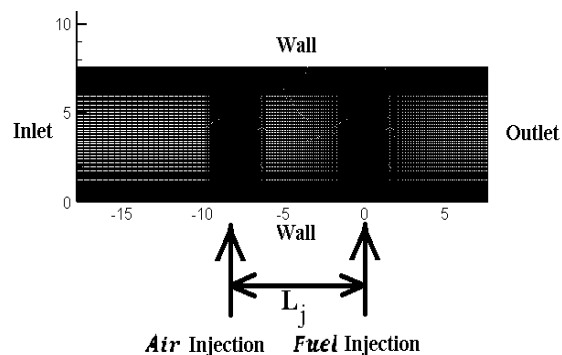
نشان دهد [۴۹-۵۰]. در برخی مراجع وسط خط دیسک ماخ و در برخی مراجع دیگر ماکریزیم ارتفاع دیسک ماخ به عنوان ارتفاع دیسک ماخ معرفی شده است. محل ایجاد دیسک ماخ در شکل ۱۳ مشاهده می‌شود و در کار حاضر وسط خط دیسک ماخ به عنوان ارتفاع دیسک ماخ در نظر گرفته شده است که با  $h_{MD}$  نشان داده شده است. همچنین بیشترین ارتفاعی که سوخت توانسته تا آنجا نفوذ کند به عنوان عمق نفوذ سوخت در نظر گرفته شده است و با  $h_f$  نشان داده شده است و نقطه‌ای در نظر گرفته شده است که در آنجا کسر حجمی هیدروژن حداقل ۹۹٪ باشد. در شکل ۱۴ ارتفاع عمق نفوذ سوخت نشان داده شده است. در شکل ۱۵ کانتور تغییرات عدد ماخ برای حالت پاشش جت هیدروژن به تنهایی و بدون پاشش جت هوا نشان داده شده است. در شکل ۱۶ کانتور تغییرات عدد ماخ برای چند حالت مختلف با فواصل متفاوت بین جت هوا و جت سوخت نشان داده است. جت هوا به صورت یک مانع در مسیر جريان عمل نموده و با ایجاد موج ضربه‌ای کمانی و تولید گردابه باعث بهبود مخلوط شدن سوخت و هوا می‌شود. در شکل ۱۷ نمودارهای تغییرات عمق نفوذ سوخت و تغییرات ارتفاع دیسک ماخ بر حسب تغییر فاصله بین جت هوا و جت سوخت نشان داده است که  $r_L$  فاصله بین جت هوا و جت سوخت است. همانگونه که از شکل ۱۷ مشاهده می‌شود رفتار تغییرات عمق نفوذ سوخت مشابه رفتار تغییرات ارتفاع دیسک ماخ است. همانگونه که از نتایج مشاهده می‌شود، با پاشش جت هوا در نزدیک نقطه پاشش سوخت، ارتفاع دیسک ماخ و عمق نفوذ سوخت زیاد است و سپس با فاصله گرفتن نقطه پاشش هوا از نقطه پاشش سوخت، ابتدا ارتفاع دیسک ماخ و عمق نفوذ سوخت کاهش یافته و سپس دوباره افزایش می‌یابد. در شکل ۱۸ تغییرات تلفات فشار سکون بر حسب تغییر فاصله بین جت هوا و جت سوخت نشان داده شده است که در این شکل  $\Delta P_t$  تلفات فشار سکون و  $P_{t,ref}$  فشار سکون مرجع است که در اینجا فشار سکون در مقطع ورودی درنظر گرفته شده است. با توجه به نتایج شکل‌های ۱۷ و ۱۸ می‌توان نتیجه گرفت که هر چه پاشش جت هوا به نقطه پاشش جت سوخت نزدیکتر شود عمق نفوذ بیشتر سوخت با تلفات فشار سکون پایین‌تری حاصل خواهد شد. البته اگر پاشش جت هوا در فواصل بسیار دور از نقطه پاشش سوخت صورت گیرد باز هم عمق نفوذ سوخت بالایی بدست می‌آید ولی در این شرایط تلفات فشار سکون نیز بالا است.



شکل ۱۰. کانتور تغییرات عدد ماخ



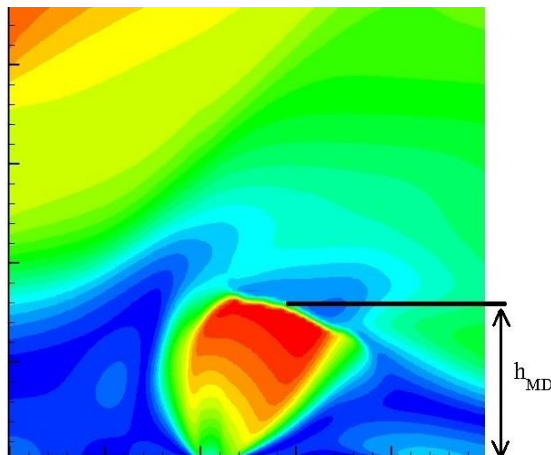
شکل ۱۱. خطوط مسیر جريان در اطراف نقطه پاشش



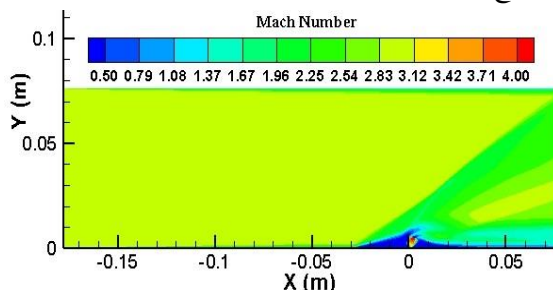
شکل ۱۲. نمایی از شکل مسئله پاشش جت هوا قبل از پاشش سوخت

بعد از انجام شبیه‌سازی‌ها، تغییرات افت فشار سکون، عمق نفوذ سوخت و ارتفاع دیسک ماخ برای حالت مختلف با یکدیگر مقایسه شده‌اند. معمولاً از ارتفاع دیسک ماخ به عنوان پارامتری جهت بررسی عمق نفوذ سوخت استفاده شده است و ارتفاع دیسک ماخ می‌تواند عمق نفوذ سوخت را در جریان مأمور صوت

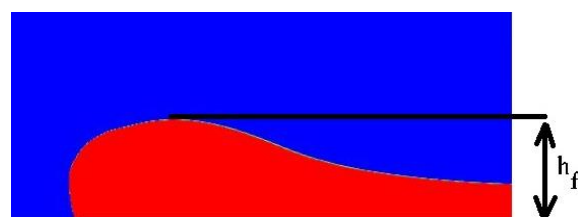
مطالعه عددی تأثیر پاشش متفاوت جت هوا قبل از جت سوخت در محیط هوای عبوری ماقبل صوت



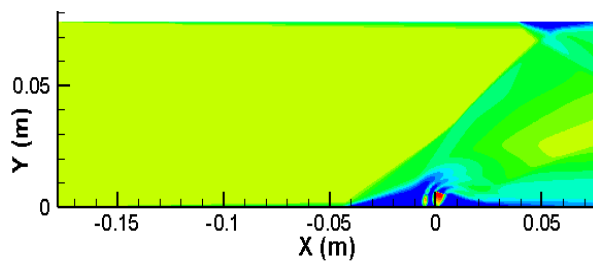
شکل ۱۳. ارتفاع دیسک ماخ



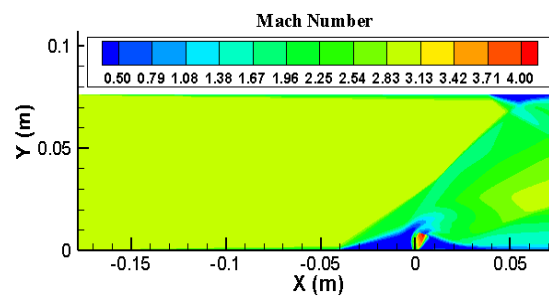
شکل ۱۵. کانتور تغییرات عدد ماخ برای حالت پاشش جت سوخت هیدروژن گازی به تنها و بدون پاشش جت هوا



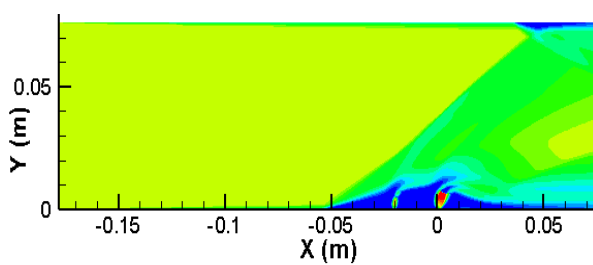
شکل ۱۴. ارتفاع عمق نفوذ سوخت



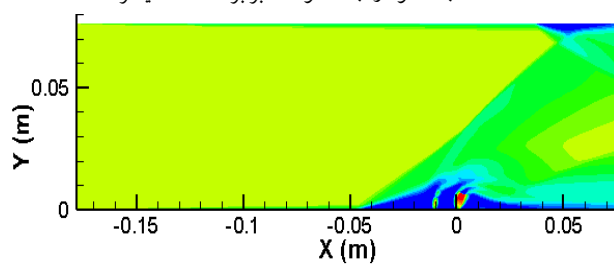
ب) فاصله جت هوا از جت سوخت برابر  $0/5$  سانتیمتر است



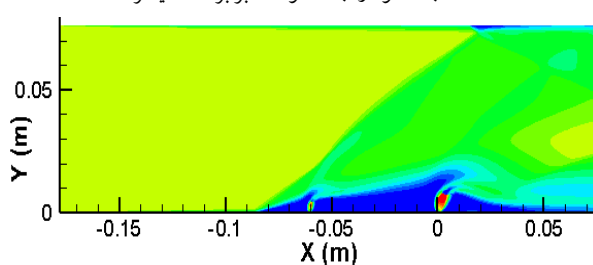
الف) فاصله جت هوا از جت سوخت برابر  $0/05$  سانتیمتر است



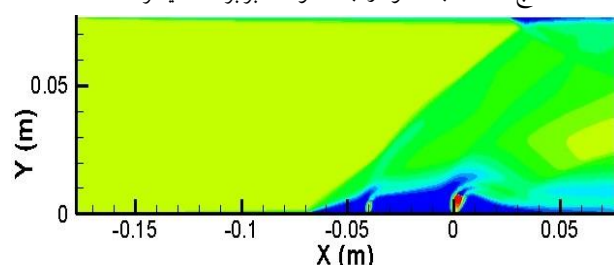
د) فاصله جت هوا از جت سوخت برابر  $2$  سانتیمتر است



ج) فاصله جت هوا از جت سوخت برابر  $1$  سانتیمتر است

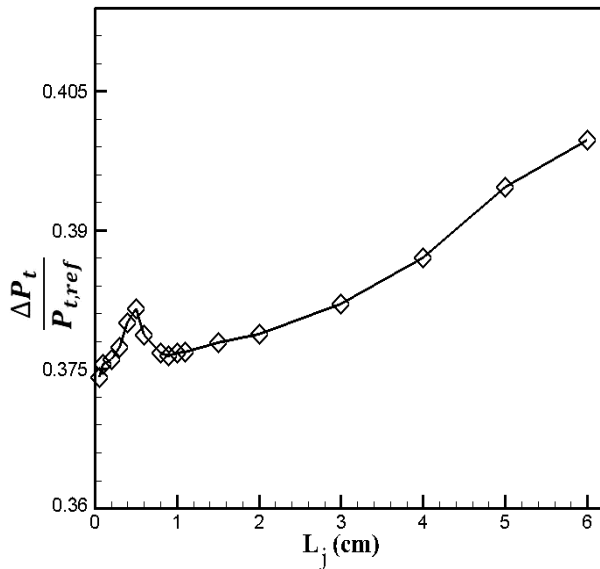


و) فاصله جت هوا از جت سوخت برابر  $6$  سانتیمتر است

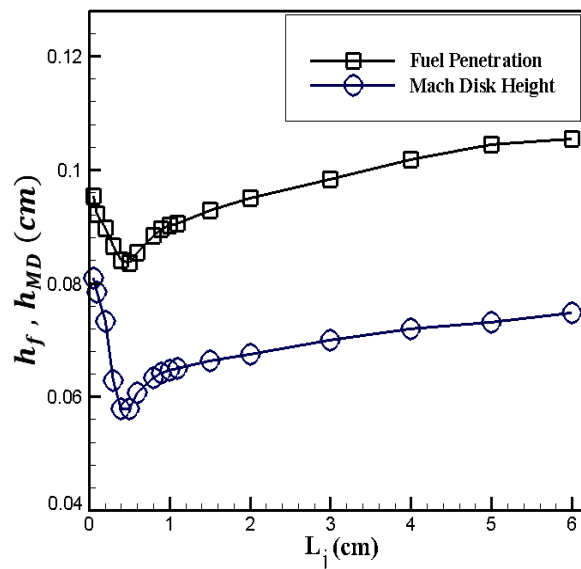


ه) فاصله جت هوا از جت سوخت برابر  $4$  سانتیمتر است

شکل ۱۶. کانتور تغییرات عدد ماخ برای چند حالت پاشش مختلف



شکل ۱۸. تغییرات تلفات فشار سکون نسبت به تغییر فاصله بین جت هوا و جت سوخت



شکل ۱۷. نمودارهای تغییرات عمق نفوذ سوخت و تغییرات ارتفاع دیسک ماخ با تغییر فاصله بین جت هوا و جت سوخت

شد. همچنین از نتایج مشاهده می‌شود که رفتار تغییرات ارتفاع دیسک ماخ مشابه رفتار تغییرات عمق نفوذ سوخت است و به همین منظور همانگونه که در برخی مراجع قبلی نیز اشاره شده است، ارتفاع دیسک ماخ می‌تواند به عنوان پارامتری جهت بررسی عمق نفوذ سوخت مورد بررسی قرار گیرد. همچنین نتایج برای حالات فقط پاشش جت سوخت به تنها ی و بدون پاشش جت هوا نیز بررسی شده‌اند و مشاهده شده است که پاشش جت هوا قبل از جت سوخت در تمام حالات مورد بررسی موجب افزایش ارتفاع دیسک ماخ و افزایش عمق نفوذ سوخت شده و در ازای آن تلفات فشار سکون نیز افزایش یافته است.

## ۷. نتیجه‌گیری

در این کار ابتدا حوزه پاشش متقطع هلیوم به درون جریان هوای مافوقصوت شبیه‌سازی شده است و نتایج حاصل از حل عددی با داده‌های تجربی مقایسه و صحّه‌گذاری شده‌اند که این مقایسه نشان دهنده تطابق خوب بین نتایج عددی و داده‌های تجربی می‌باشد. پس از صحّه‌گذاری حل عددی، مسأله تأثیر پاشش جت هوا قبل از پاشش جت سوخت بررسی شده است که نتایج حاصل از شبیه‌سازی‌های عددی نشان می‌دهند که هر چه پاشش جت هوا به نقطه پاشش جت سوخت نزدیک‌تر شود عمق نفوذ بیشتر سوخت با تلفات فشار سکون پایین‌تری حاصل خواهد

## ۸. مأخذ

- [1] Martin, Michael A., Huy H. Nguyen, William D. Greene, and David C. Seymour, Transient mathematical modeling for liquid rocket engine systems: Methods, capabilities, and experience, 5th International Symposium on Liquid Space Propulsion, Chattanooga, TN; United States, Oct 27-30. 2003.
- [2] Sutton, George P., and Oscar Biblarz. Rocket propulsion elements. John Wiley & Sons, pp. 223-225, 2016.
- [3] Binder, Michael, Thomas Tomsik, and Joseph P. Veres. RL10A-3-3A rocket engine modeling project, NASA Technical Report, 1997.
- [4] Binder, Michael. A transient model of the RL10A-3-3A rocket engine. In 31st Joint Propulsion Conference and Exhibit, p. 2968. 1995.
- [5] Binder, Michael. An RL10A-3-3A rocket engine model using the Rocket Engine Transient Simulator (ROETS) software. 29th Joint Propulsion Conference and Exhibit. 1993.
- [6] Di Matteo, Francesco. Modelling and simulation of liquid rocket engine ignition transients. PhD Thesis, Department of Aerospace Engineering, SAPIENZA University, Roma, 2010..
- [7] Di Matteo, Francesco, Marco De Rosa, and Marcello Onofri. Start-up transient simulation of a liquid rocket engine. 47th AIAA/ASME/SAE/ASEE Joint Propulsion Conference & Exhibit. 2011.
- [8] Di Matteo, Francesco, Marco De Rosa, and Marcello Onofri. Transient simulation of the RL-10A-3-3A rocket engine. Space Propulsion Conference. 2012.

- [9] A. Santana Jr., F.I. Barbosa, M. Niwa, L.C.S. Goes, Modeling and Robust Analysis of a Liquid Rocket Engine, 36th Joint Propulsion Conference & ExhibitHuntsville, Alabama, July 2000.
- [10] H. Karimi, A. Nassirharand, and M. Beheshti, Dynamic and Nonlinear Simulation of Liquid Propellant Engines, AIAA Journal of Propulsion and Power, pp. 938-944, vol. 19, no. 5, 2003
- [11] A. Kanmuri, T. Kanda, Y. Wakamatsu, Y. Torri and E. Kagawa, K. Hasegawa, Transient Analysis of LOX/LH<sub>2</sub> Rocket Engine (LE-7), 25th Joint Propulsion Conference & ExhibitHuntsville, Monterey, CA, July 10-12, 1989
- [12] Liu Kun, Zhang Yulin, Study on Versatile Simulation of Liquid Propellant Rocket Engine Systems Transients, 36th Joint Propulsion Conference & Exhibit Huntsville, Huntsville, AL, July 17-19, 2000
- [13] D. Ramesh, M. Aminpoor, Nonlinear, Dynamic Simulation of an Open Cycle Liquid Rocket Engine, 43th Joint Propulsion Conference & Exhibit Huntsville, Cincinnati, OH, July8 - 11 , 2007.
- [14] i Bel, Núria Margarit, and Manuel Martínez Sánchez. Simulation of a Liquid Rocket Engine, 1st Meeting of EcosimPro Users, UNED, Madrid, 3-4 May 2001.
- [15] Beliaev, E. Chevanov, V. , Chervakov, V., Mathematical Modeling of Operating Process of Liquid Propellant Rocket Engines, , MAI , 1999. (In Russian)
- [16] Hybrid Systems Analysis Unit and System Dynamics Unit, Engine Balance and Dynamics Model, Rockwell International Corporation, Rocket dyne Division, report number RL00001, January 19, 1992.
- [17] Avsianikov, B.V. , Theory and calculation of feed system's elements of liquid propellant rocket engines, Mashinostroenie Publications, Moscow, Russia, 1983. (In Russian)
- [18] V.A.Shesternikov, Hydraulic Modeling of Start Regime of Liquid Propellant Rocket Engines, 1981. (In Russian)
- [19] T.P.C. Lozano, Dynamic models for liquid rocket engines with health monitoring application, Master of Science, Aeronautics and Astronautics, Massachusetts Institute of Technology, 1998.

### پی‌نوشت

- 
- 1. Hyshot II
  - 2. NASA X-43A
  - 3. Mass sampling
  - 4. Schlieren
  - 5. Rayleigh/Mie scattering
  - 6. LIIF: Laser-Induced iodine fluorescence
  - 7. PLIIF: Planar Laser-Induced iodine fluorescence
  - 8. Wake
  - 9. Leeward side
  - 10. Aero-ramp injector